

Санкт-Петербургский политехнический университет Петра Великого
Институт прикладной математики и механики
Кафедра «Прикладная математика»

**ОТЧЁТ ПО ЛАБОРАТОРНЫМ РАБОТАМ
ПО ДИСЦИПЛИНЕ «ВЫЧИСЛИТЕЛЬНЫЕ
КОМПЛЕКСЫ»**

Выполнил
студент группы 3630102/70201

Крупкина Дарья

Проверил
к. ф.-м. н., доцент

Баженов Александр Николаевич

Санкт-Петербург
2020

Содержание

1	Постановка задачи	2
1.1	Задача 1	2
1.2	Задача 2	2
2	Теория	2
2.1	Субдифференциальный метод Ньютона	2
3	Реализация	2
4	Результаты	3
4.1	Задача 1	3
4.2	Задача 2	5
5	Приложения	8

Список иллюстраций

1	Решение исходной задачи	3
2	Решение задачи с неправильной правой частью	4
3	Зависимость количества итераций от точности значений	5
4	Область решений для матрицы 1	6
5	Область решений для матрицы 2	7
6	Сравнение полученного и модельного решений	7

1 Постановка задачи

1.1 Задача 1

Решить задачу с треугольной матрицей из лекции:

$$C = \begin{pmatrix} [2, 4] & [-2, 1] \\ [-2, 1] & [2, 4] \end{pmatrix} \quad (1)$$

с неправильными (отличными от исходных) интервалами в правой части.

1.2 Задача 2

Решить задачу, относящуюся к малоракурсной томографии. Для данной матрицы размерностью 256x36 необходимо убрать избыточное число уравнений, сгенерировать пробное начальное значение. Затем найти правую часть, обинтервалить ее и затем решить в полной арифметике.

2 Теория

2.1 Субдифференциальный метод Ньютона

Выберем некоторое начальное приближение $x^{(0)} \in R^{2n}$.

Если $(k-1)$ -е приближение $x^{(k-1)} \in R^{2n}$, $k = 1, 2..$ уже найдено, то вычисляем субградиент $D^{(k-1)}$ отображение Γ в точке $x^{(k-1)}$ и полагаем:

$$x^{(k)} \longleftarrow x^{(k-1)} - \tau(D^{(k-1)})^{-1}\Gamma(x^{(k-1)}), \quad (2)$$

где $\tau \in]0, 1]$ - некоторая константа.

При этом:

$$\Gamma(y) = sti(Csti^{-1}(y)) - sti(d) \quad (3)$$

Функция погружения действует по правилу:

$$sti(x) : (x_1, \dots, x_n) \longrightarrow (-\underline{x}_1, \dots, -\underline{x}_n, \bar{x}_1, \dots, \bar{x}_n) \quad (4)$$

3 Реализация

Лабораторная выполнена с помощью средств языка Python, использованы библиотеки numpy, numpy.linalg для алгебраических вычислений, а также matplotlib для визуализации.

4 Результаты

4.1 Задача 1

Для начала решим задачу с правой частью, идентичной лекционной, чтобы убедиться в правильности работы методов:

$$\mathbf{d} = \begin{pmatrix} [-2, 2] \\ [-2, 2] \end{pmatrix} \quad (5)$$

Получены следующие результаты для различных точностей:

```
Accuracy: 0.001  
[-0.3333333333333337, 0.3333333333333333]  
[-0.3333333333333337, 0.3333333333333337]  
Quantity of iterations: 3
```

```
Accuracy: 1e-05  
[-0.3333333333333337, 0.3333333333333333]  
[-0.3333333333333337, 0.3333333333333337]  
Quantity of iterations: 3
```

```
Accuracy: 1e-10  
[-0.3333333333333337, 0.3333333333333333]  
[-0.3333333333333337, 0.3333333333333337]  
Quantity of iterations: 3
```

Рис. 1: Решение исходной задачи

Результат получился достоверный, при этом число итераций осталось малым и не зависит от точности.

Теперь рассмотрим задачу с неправильной правой частью:

$$\mathbf{d} = \begin{pmatrix} [-1.5, 3] \\ [-2, 2] \end{pmatrix} \quad (6)$$

Результаты для такой системы:

```
Accuracy: 0.001  
[-0.2083333333333333, 0.6666666666666666]  
[-0.16666666666666674, 0.3333333333333334]  
Quantity of iterations: 5
```

```
Accuracy: 1e-05  
[-0.2083333333333333, 0.6666666666666666]  
[-0.16666666666666674, 0.3333333333333334]  
Quantity of iterations: 5
```

```
Accuracy: 1e-10  
[-0.2083333333333333, 0.6666666666666666]  
[-0.16666666666666674, 0.3333333333333334]  
Quantity of iterations: 5
```

Рис. 2: Решение задачи с неправильной правой частью

Проверим влияние точности на число итераций:

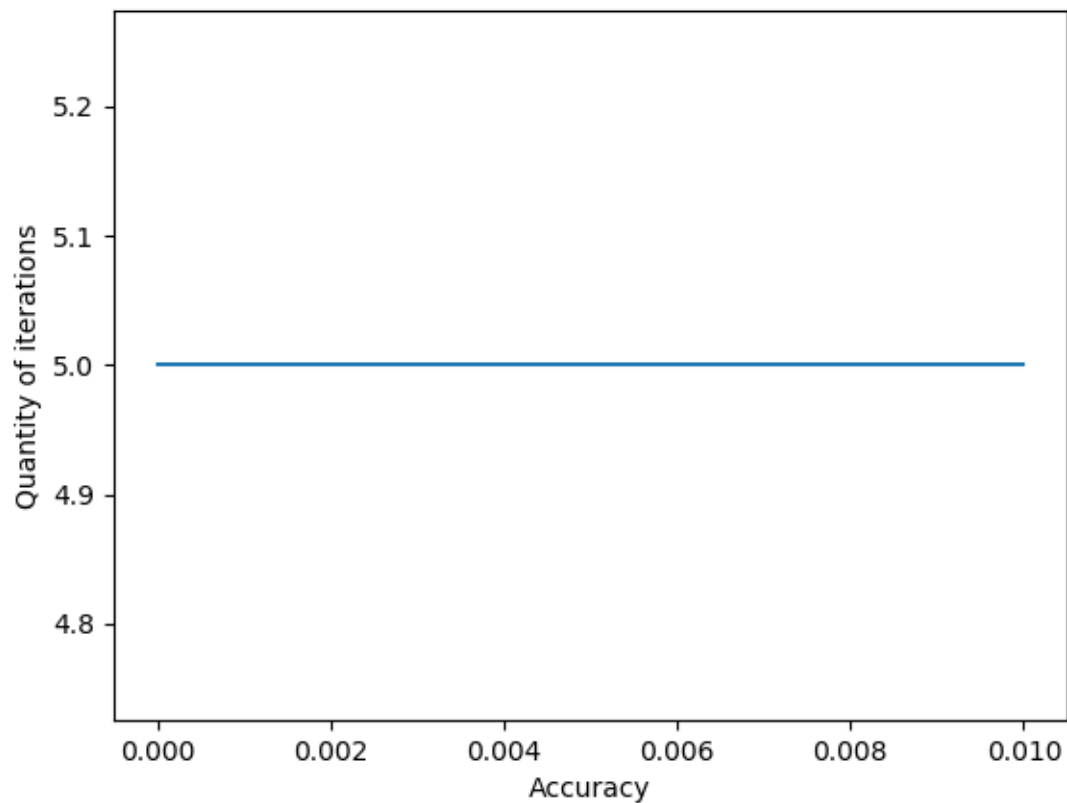


Рис. 3: Зависимость количества итераций от точности значений

Как видно из графика, точность в пределах выбранных значений не оказывает никакого влияния на количество итераций, которое остается одинаковым для точности от 0.01 до 10^{-20} .

4.2 Задача 2

Для задачи 2 имеем следующий алгоритм действий:

1. Берем матрицу 128x18, в которой нет нулевых столбцов.
2. Нам необходимо обрезать матрицу, сделав ее квадратной, поэтому среди 128 строк находим те наиболее заполненные 18, при которых в каждом столбце будет хотя бы одно достаточно большое значение.
При этом можно переставлять строки и столбцы местами.
3. Проверяем невырожденность такой матрицы (с компьютерной точки зрения).
4. Находим решения для данной части матрицы.

Для первой матрицы ($matrix - n - phi - 1$) в результате первых 2-х шагов получаем матрицу, определитель которой равен

$3.4195006383438334e - 18$, что можно рассмотреть как отличный от 0.

Для такой матрицы можно построить обратную с помощью встроенных методов.

Затем генерируем по закону равномерного распределения вектор значений x , который далее будет являться решением. Получаем $b = A \cdot x$, далее опять с помощью равномерного распределения получаем значения радиусов, с помощью которых обинтерваливаем правую часть.

Получаем для этой матрицы:

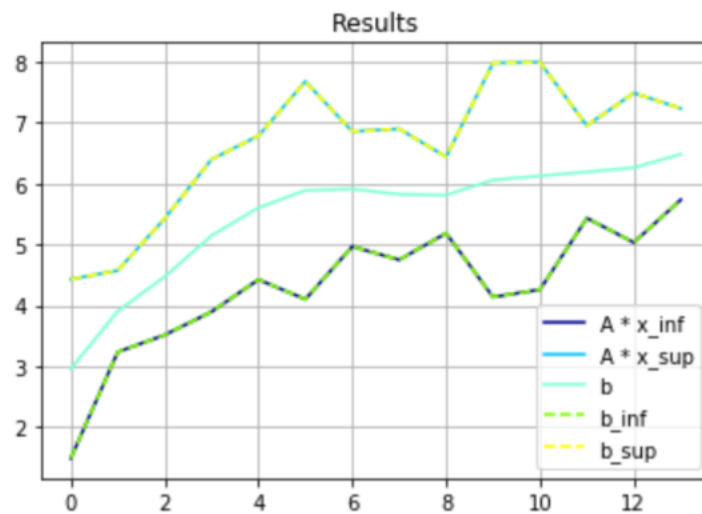


Рис. 4: Область решений для матрицы 1

Количество итераций: 68.

Аналогично поступим с матрицей $matrix - n - phi - 6$, ее определитель равен $6.381233859251037e - 18$ для нее результат:

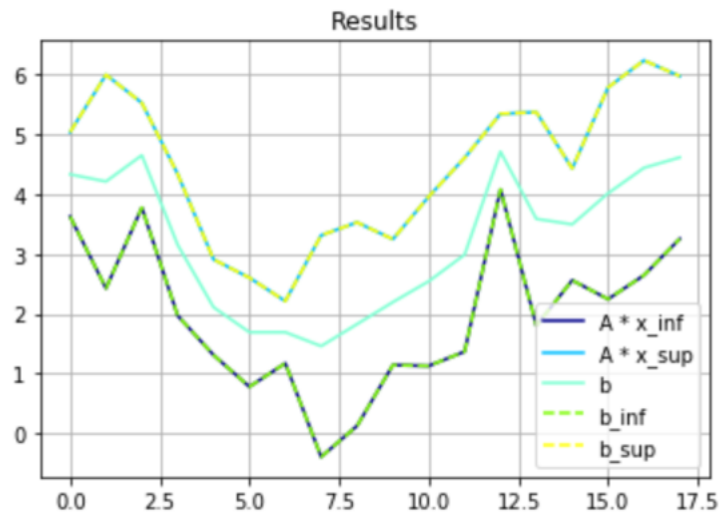


Рис. 5: Область решений для матрицы 2

Количество итераций: 24.

Заметим, что для обеих задач b содержится в между $A \cdot x_{inf}$ и $A \cdot x_{sup}$: $b \in [A \cdot x_{inf}; A \cdot x_{sup}]$, что позволяет дать внешнюю оценку решений.

Для анализа системы(второй матрицы) были взяты модельные правая часть и решение. Правая часть была обьинтервалена, как и прежде, а затем получено решение с помощью субдифференциального метода Ньютона.

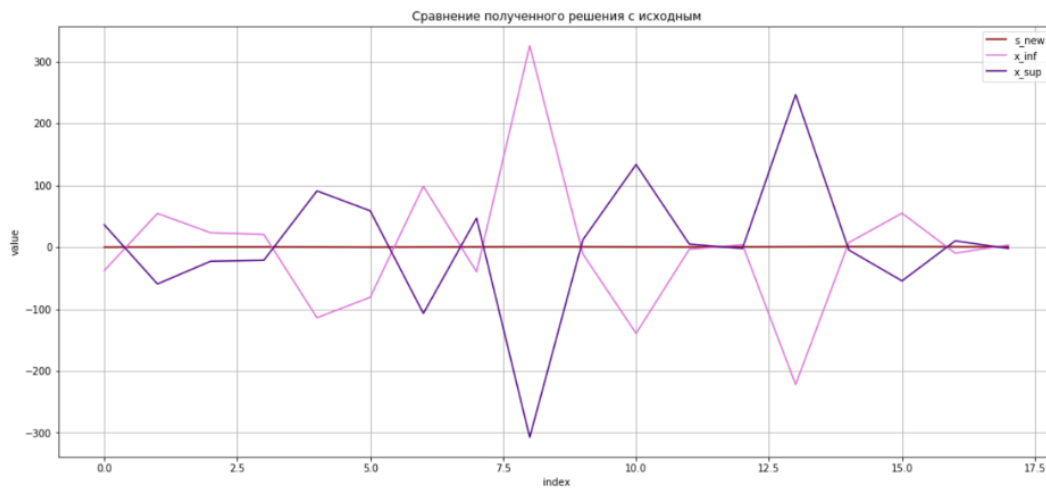


Рис. 6: Сравнение полученного и модельного решений

Как видно из (6), модельное решение находится в области между верхней и нижней границами полученного интервального решения, в некоторых местах совпадая или пересекаясь. Однако здесь достаточно сильные разбросы, которые встречаются в силу того, что в систему внесены произвольные величины.

5 Приложения

Код программы на GitHub, URL: https://github.com/DariaKrup/Computational_complexes